МОЛОДЕЖНЫЙ НАУЧНО-ТЕХНИЧЕСКИЙ ВЕСТНИК

Издатель ФГБОУ ВПО "МГТУ им. Н.Э. Баумана". Эл No. ФС77-51038.

УДК 533.6.011.5

Применение аналитических формул распределения давления для расчета тепловых потоков на поверхности затупленных тел

Ожгибисова Ю.С., студент Россия, 105005, г. Москва, МГТУ им. Н. Э. Баумана, кафедра «Вычислительная математика и математическая физика»

Научный руководитель: Котенев В.П., д.т.н., профессор кафедры «Вычислительной математики и математической физики», начальник отдела аэродинамики, Россия, 143966, Московская обл., г. Реутов, ОАО «ВПК «НПО машиностроения» bauman@bmstu.ru

Введение.

Исследование течений газа около поверхности летательных аппаратов - одна из важных задач аэродинамики. Для исследования обтекания различных конфигураций и обнаружения новых гидродинамических явлений применяются экспериментальные исследования. Сложность такого подхода состоит в использовании дорогостоящих моделей, больших временных затратах, погрешностях измерений и т. д.

Получить решение при минимальных временных затратах можно с помощью приближенных методов, одним из которых является метод Ньютона. Как правило, теория Ньютона дает удовлетворительный результат вблизи затупления, но плохо работает, когда угол наклона касательной к поверхности тела стремится к нулю. А именно такие тела наиболее интересны с точки зрения практических расчетов.

В настоящее время актуальна задача построения метода расчета газодинамических параметров, который позволил бы с высокой точностью и в простой аналитической форме описывать процесс обтекания различных затупленных тел. Основой для таких решений является рассмотрение обтекания тел вращения в двумерной постановке.

В данной работе представлены методы расчета распределения давления и расчеты распределения величины теплопередачи q_x в произвольной точке криволинейной поверхности вращения, отнесенной к тепловому потоку q_0 в точке полного торможения. В основе указанных методов лежит применение универсальных формул для расчета давления повышенной точности, рассмотренные в работах [1] и [2].

Приводится сравнение полученных результатов расчета тепловых потоков с численным решением уравнений Навье-Стокса, представленным в работе [3].

Постановка задачи.

Во многих работах приводятся достаточно простые формулы распределения безразмерных тепловых потоков на поверхности затупленных тел, которые основаны на рассмотрении результатов численных решений, экспериментальных данных и упрощенных математических постановках.

Тем не менее, при использовании приемлемого распределения давления, эти упрощенные подходы дают хороший результат.

Для анализа тепловых потоков будем использовать формулу

$$\frac{q}{q_0} = \cos \sigma r^{\nu} P(s) \left(2(1+\nu) \int_0^s \cos \sigma r^{2\nu} P(s) ds \right)^{-1/2}. \tag{1}$$

введенную в работе [4].

В формуле (1) q/q_0 - величина теплопередачи в произвольной точке поверхности отнесенная к величине теплового потока в точке полного торможения, для осесимметричных сечений: $\nu=1$, r - расстояние от поверхности тела до оси симметрии, σ - угол между касательной к поверхности и скоростью набегающего потока, R - радиус кривизны, S - криволинейная координата, выражающая длину дуги вдоль контура тела.

Для использования соотношения (1) также необходимо знать распределение давления на всем участке между интересующей точкой и точкой полного торможения. Воспользуемся результатами работ [1] и [2], где приведены формулы для распределения давления, отнесенного к давлению торможения на поверхности затупленных тел

$$P(\sigma) = \begin{bmatrix} 1 - \frac{\gamma - 1}{\gamma + 3} \cdot \left(\frac{\sigma - \pi/2}{\sigma_* - \pi/2}\right)^2 \\ \frac{1 - \frac{\gamma - 1}{\gamma + 3} \cdot \left(\frac{\sigma - \pi/2}{\sigma_* - \pi/2}\right)^2}{\sigma_* - \pi/2} \end{bmatrix}^{\lambda(\sigma) \frac{\gamma}{\gamma - 1}}.$$
 (2)

Поясним, каким образом строится функция $\lambda(\sigma)$, входящая в формулу (2) для тел, отличных от сферы. Для случая сферы $\lambda(\sigma) \equiv 1$. Так как в звуковой точке должно

выполняться равенство $p_* = \left(\frac{2}{\gamma - 1}\right)^{\frac{1}{\gamma - 1}}$, то $\lambda(\sigma_*) = 1$. Будем считать функцию

 $\lambda(\sigma)$ линейной. Пусть вторая точка x_0 , через которую проходит прямая $\lambda(\sigma)$, лежит в небольшой окрестности σ_* и $\lambda(x_0) = \lambda_0$. Тогда $\lambda(\sigma)$ имеет вид

$$\lambda(\sigma) = 1 + \frac{1 - \lambda_0}{\sigma_* - x_0} (\sigma - \sigma_*). \tag{3}$$

Положение точки x_0 определим эмпирически в зависимости от положения звуковой точки на поверхности тела из условия:

если
$$\sigma_{**} > \sigma_{*}$$
, то $x_0 = 1,15\sigma_{*}$; (4)

если
$$\sigma_{**} < \sigma_{*}$$
, то $x_0 = 0.85 \sigma_{*}$, (5)

где σ_{**} определяет положение звуковой точки на сфере.

В небольшой окрестности звуковой точки для расчета давления с высокой точностью можно воспользоваться модификацией формулы Ньютона:

если
$$\sigma \ge \sigma_*$$
, то $P = \sin^2 \sigma + \frac{p_* - \sin^2 \sigma_*}{\cos^2 \sigma_*} \cos^2 \sigma;$ (6)

если
$$\sigma < \sigma_*$$
, то $P = (p_* - P_{\infty}) \frac{\sin^2 \sigma}{\sin^2 \sigma_*} + P_{\infty}$. (7)

Величину λ_0 будем искать из равенства давления, рассчитываемого по формуле (2), давлению, рассчитываемому по формулам (6) или (7) в точке x_0 . Таким образом, в любой точке тела можно вычислить значение $\lambda(\sigma)$, а значит и давление по формуле (2).

Для определения положения звуковой точки σ_{**} на поверхности сферы используем формулу работы [3]

$$\sigma_{**} = \begin{cases} \arcsin\left(\sqrt{\frac{p_* - 1/(1 + \gamma M^2)}{1 - 1/(1 + \gamma M^2)}}\right) \text{ при } M < 2, 5, \\ 90^{\circ} - \left(34^{\circ} + 40^{\circ} \kappa\right) \text{ при } M \ge 2, 5. \end{cases}$$
(8)

Здесь $\kappa = \frac{\gamma - 1}{\gamma + 1} + \frac{2}{\gamma + 1} \frac{1}{M^2}$, M - число Маха набегающего потока.

Для затупленных тел вращения, отличных от сферы, при нахождении σ_* использовалась теория контурных функций

$$f = \frac{1}{r} \frac{\partial V}{\partial p} = -\frac{1}{r \rho V},$$

которая описана в [5], [6], [7]. Данные функции удовлетворяют обыкновенному дифференциальному уравнению второго порядка вдоль контура тела

$$\frac{\partial^2 f}{\partial \sigma^2} + f = \frac{\partial R}{\partial \Psi},$$

где ψ - специальным образом введенная динамически-адаптивная переменная. Суть указанного метода состоит в том, что каждая точка произвольного контура аппроксимируется некоторой окружностью радиуса $R(\sigma)$, что дает возможность составить целевое уравнение

$$\left(\frac{f^{"}}{f}\right)_{*} = \left(\frac{f^{"}}{f}\right)_{**}.$$

Перейдем к основной задаче, рассматриваемой в статье, определению теплового потока на поверхности тела.

Интеграл из (1) преобразуется к виду

$$\int_{0}^{s} \cos \sigma r^{2\nu} P(s) ds = -\int_{\frac{\pi}{2}}^{\sigma} \cos \sigma r^{2\nu} P(\sigma) R d\sigma. \tag{9}$$

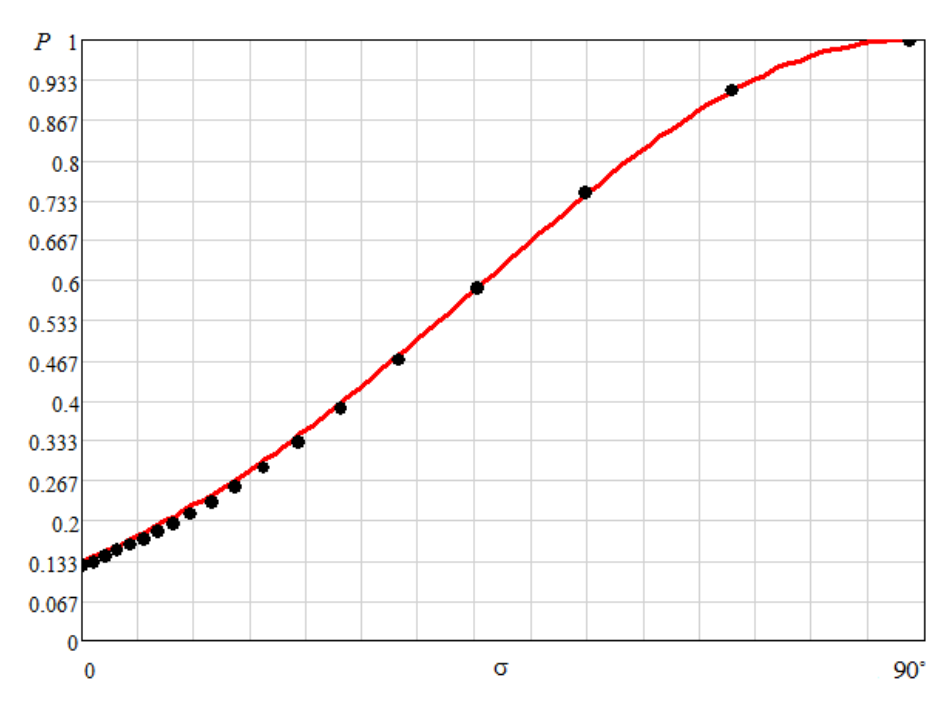
Учитывая (2), (3), (4) формула (1) преобразуется к виду:

$$\frac{q}{q_0} = \frac{\cos \sigma r(\sigma) P(\sigma)}{\sqrt{4 \int_{\frac{\pi}{2}}^{\sigma} \cos \sigma r^2 P(\sigma)(-R) d\sigma}}.$$
 (10)

Результаты.

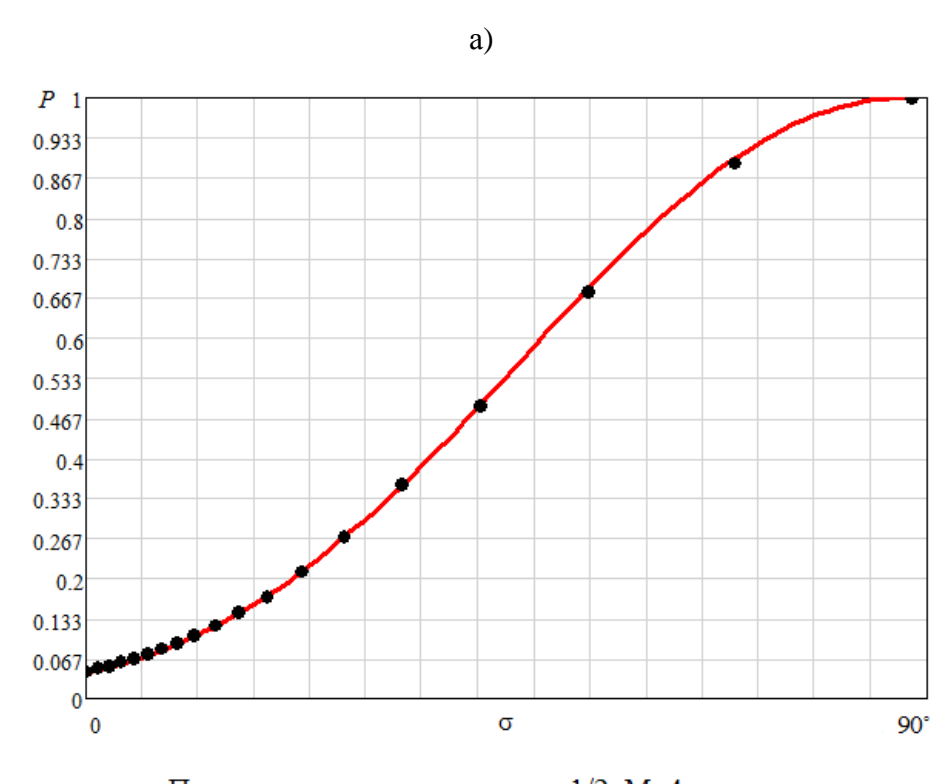
Сравним результаты применения полученных формул (2) и (10) для распределения давления и тепловых потоков на поверхности затупленных тел с точным численным решением. На рис.1 а), б), в), г) сплошной линией представлено распределение давления, полученного по формуле (2), а точками – данные, представленные в работе [8]. На каждом рисунке приводятся сведения о геометрии тел, представляющих собой эллипсоид вращения с соотношением полуосей, равным «п», числом Маха набегающего потока «М». Из анализа сравнения мы сделали вывод о том, что формула (2) дает практически точное

распределение. Аналогичное по точности согласование имеет место и для случая n=3/2.



— Полученное распределение n=1/2; M=2

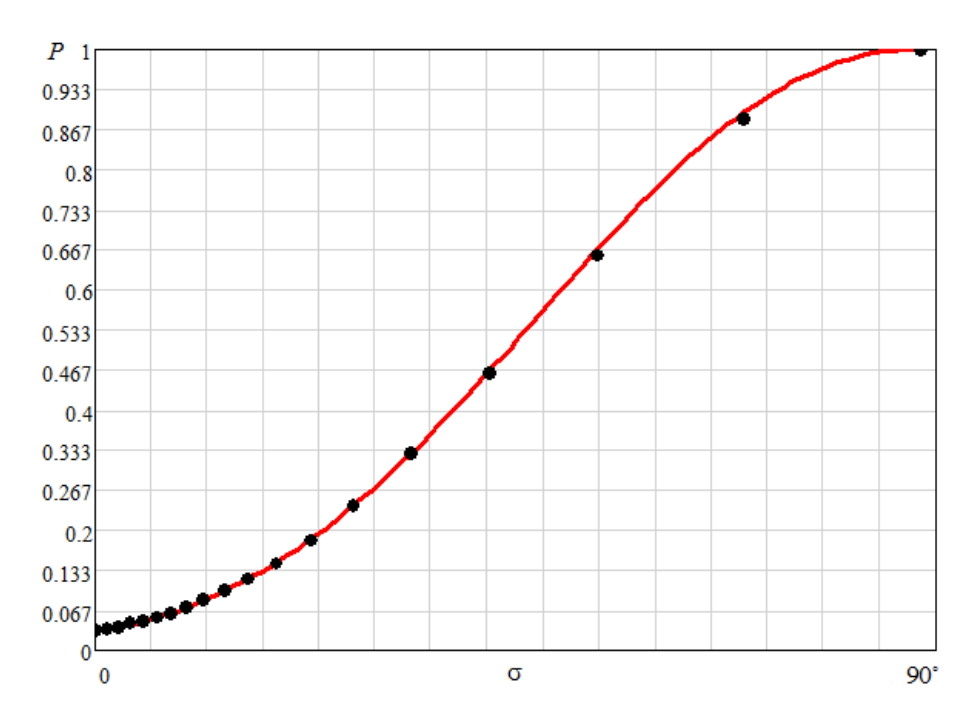
• • • Табличные данные n=1/2; M=2



— Полученное распределение n=1/2; M=4

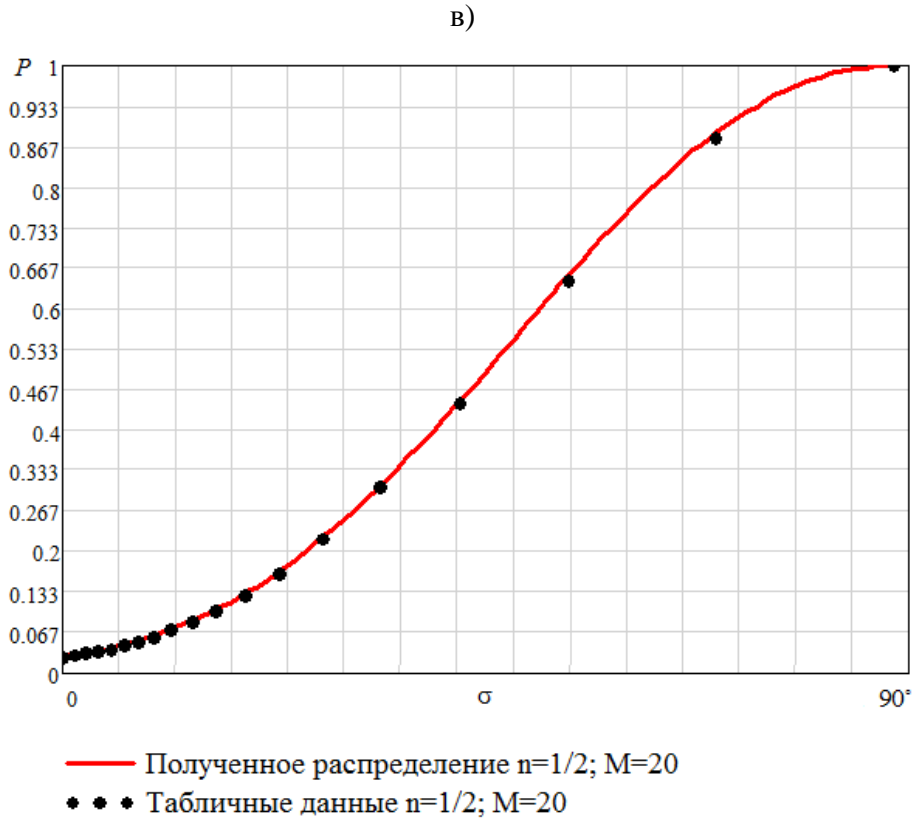
• • • Табличные данные n=1/2; M=4

б)



Полученное распределение n=1/2; M=6

• Табличные данные n=1/2; M=6

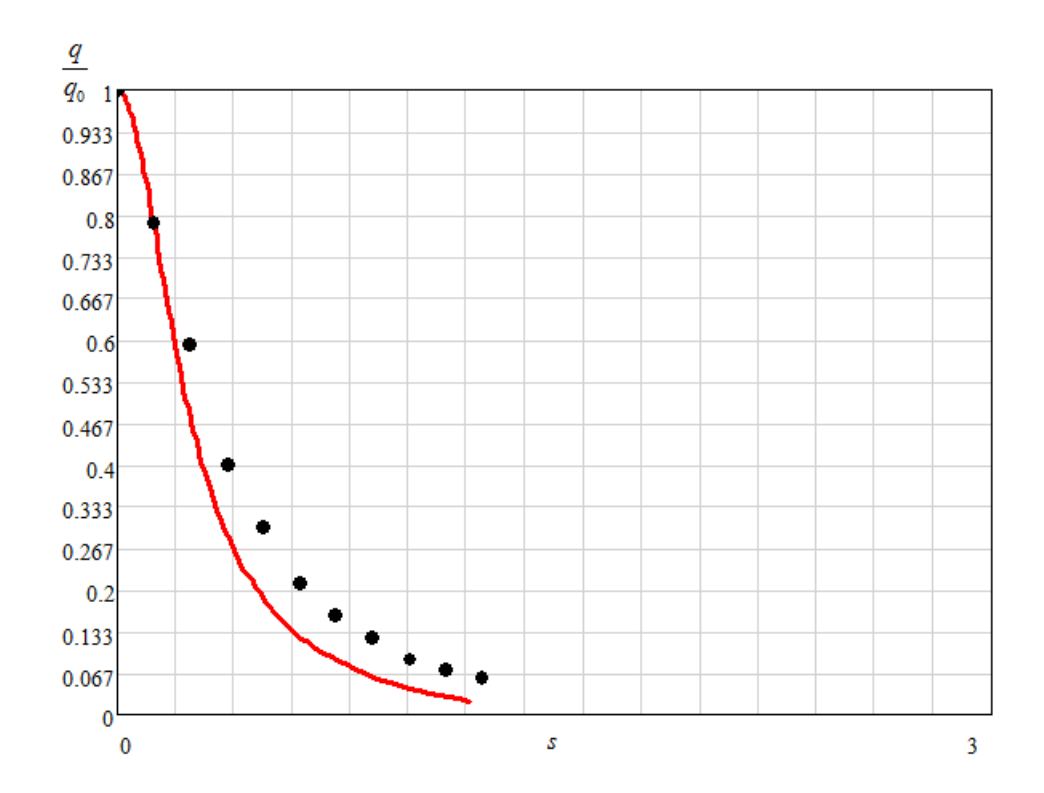


г)

Рис. 1. Распределения давления для эллиптической поверхности с отношением полуосей n = 1 / 2 при числах Маха: а) $M_{_\infty}$ = 2 ; б) $M_{_\infty}$ = 4 ; в) $M_{_\infty}$ = 6 ; г) $M_{_\infty}$ = 20

Рассмотрим применение формулы (10) для расчета тепловых потоков на эллиптической поверхности с отношением полуосей с отношением полуосей n=1/2 и n=3/2, и числах Маха набегающего потока, исследованных также в [3]. На рис. 2 а), б) сплошной линией представлены приближенные результаты данной статьи, а точками – результаты расчета в рамках уравнений Навье-Стокса [3].

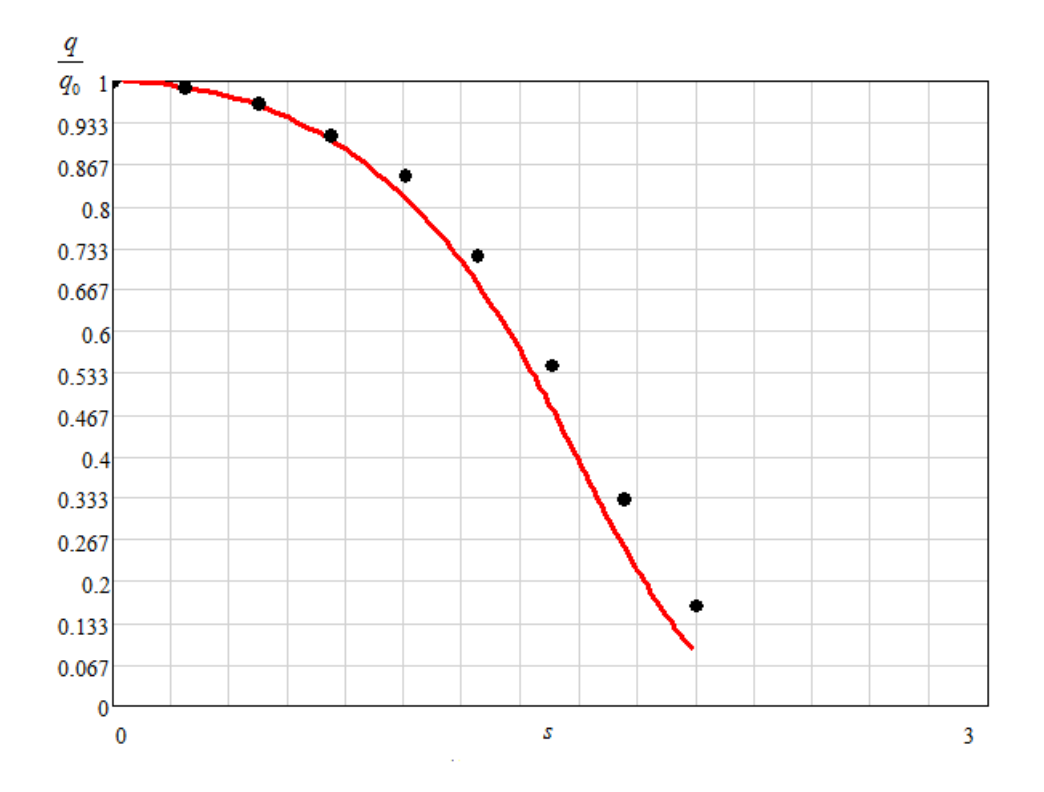
Анализ полученных результатов показывает, что расчет по приближенной формуле [1] качественно хорошо согласуется с точным решением, полученным в [3] в рамках уравнений Навье-Стокса и в первом приближении может использоваться на начальной стадии проектирования летательных аппаратов.



— Полученное распределение n=1/2; M=10

• • • Табличные данные n=1/2; M=10

a)



─ Полученное распределение n=3/2; M=10

• • • Табличные данные n=3/2; M=10

б`

Рис. 2. Распределения q/q_0 для эллиптической поверхности с отношением полуосей а) n=1/2 и б) n=3/2 при числе Маха $M_{\infty}=10$

Заключение.

Таким образом, формулу для распределения давления можно использовать для быстрой оценки теплового потока на поверхности затупленных тел с хорошей точностью, не затрачивая сколь-нибудь существенных временных и вычислительных ресурсов.

Список литературы

- Котенев В.П. Точная зависимость для определения давления на сфере при произвольном числе Маха сверхзвукового набегающего потока // Математическое моделирование. 2014. Т. 26. № 9. С. 141-148.
- 2. Котенев В.П., Сысенко В.А. Аналитические формулы повышенной точности для расчета распределения давления на поверхности выпуклых, затупленных тел вращения произвольного очертания // Математическое моделирование и численные методы. 2014. Т. 1. № 1-1. С. 68-81.

- 3. Брыкина И.Г. Методы расчета теплопередачи и трения при пространственном гиперзвуковом ламинарном обтекании тел во всем диапазоне чисел Рейнольдса: автореф. дис... д-ра. физ.-мат. наук. М., 2013. 38 с.
- 4. Лунев В.В. Гиперзвуковая аэродинамика. М.: Машиностроение, 1975. 328 с.
- 5. Котенев В.П. Уравнения двумерных течений газа в динамических переменных // Информационные технологии. 2007. № 1. С. 37-41.
- 6. Димитриенко Ю.И., Котенев В.П., Захаров А.А. Метод ленточных адаптивных сеток для численного моделирования в газовой динамике. М.: ФИЗМАТЛИТ, 2011. 280 с.
- 7. Котенев В.П., Сысенко В.А. Уточненный метод быстрой оценки давления на поверхности гладких затупленных тел // Вестник МГТУ им. Н. Э. Баумана. Естественные науки. Спец. вып. «Математическое моделирование». № 3. 2012. С. 64-74.
- 8. Любимов А.Н., Русанов В.В. Течения газа около тупых тел. М.: Наука, 1970. 379 с.